

7103

ОБЪЕДИНЕННЫЙ
ИНСТИТУТ
ЯДЕРНЫХ
ИССЛЕДОВАНИЙ
ДУБНА



7103

Экз. чит. зала
Р1 - 7103

НЕКОТОРЫЕ ХАРАКТЕРИСТИКИ
ИНКЛЮЗИВНЫХ РЕАКЦИЙ $\pi^- p \rightarrow \pi^+ + \dots$ И $\pi^- n \rightarrow \pi^+ + \dots$
ПРИ ИМПУЛЬСЕ 40 ГЭВ/С

1973

ЛАБОРАТОРИЯ ВЫСОКИХ ЭНЕРГИЙ

НЕКОТОРЫЕ ХАРАКТЕРИСТИКИ
ИНКЛЮЗИВНЫХ РЕАКЦИЙ $\pi^- p \rightarrow \pi^\pm + \dots$ И $\pi^- n \rightarrow \pi^\pm + \dots$
ПРИ ИМПУЛЬСЕ 40 ГЭВ/С

Сотрудничество Алма-Ата-Будапешт-Бухарест-Варшава-
Дубна- Краков-Москва-Серпухов-София-
Ташкент-Тбилиси-Улан-Батор-Ханой

Направлено в ЯФ

P1 - 7103

А.У.Абдурахимов, Н.Ангелов, К.П.Вишневская,¹
В.Г.Гришин, Л.А.Диденко,¹ Т.Канарак, Ш.В.Иногамов,
И.А.Ивановская, Е.Н.Кладницкая, Дж.М.Кохли,²
В.Б.Любимов, Н.Н.Мельникова, В.С.Мурzin,¹ В.М.Попова,¹
М.Сабэу, Л.И.Сарычева,¹ М.И.Соловьев, Л.Н.Смирнова,¹
Х.Я.Супичаков, Ю.В.Тевзадзе, Н.Г.Фадеев,
Л.М.Щеглова,¹ Г.Янчо

Объединенный институт ядерных исследований, Дубна

Ж.С.Такибаев, Е.О.Абдрахманов, А.Н.Басина,
А.Х.Виницкий, Л.Е.Еременко, И.С.Стрельцов,
И.Я.Часников

Институт физики высоких энергий, Алма-Ата

Т.Гемеши, Л.Йеник, Д.Киш, Ш.Красновски, Д.Пинтер,
М.Паш, Телбис,
Центральный институт физических исследований, Будапешт

¹ Физический факультет Московского государственного университета.

² Физический факультет Пенджабского университета,
Чандигар, Индия.

ОИЯИ
БИБЛИОТЕКА

О.Болеа, В.Болдеа, Т.Понта, С.Фелеа,
Институт атомной физики, Бухарест

М.Бардадин-Отвиновска, А.Бичел, В.Вуйцик, Я.Гаевски,
М.Гурски, Р.Гокиели, Е.Петровска, С.Отвиновски,
Р.Сосновски,
Институт ядерных исследований и Институт физики
Варшавского университета, Варшава

Л.Анела, Е.Бартке, Л.Квятковска, С.Ковальчик,
К.Эскрейс,
Институт ядерной физики и Институт ядерной техники,
Краков

Л.Н.Герджоков, А.А.Иванилов, Е.Н.Кузнецов,
С.Н.Паршикура,

Институт физики высоких энергий, Серпухов

Н.О.Ахабабян, Н.П.Иков, П.П.Керачев, П.К.Марков,
В.Н.Пенев, Х.И.Семерджиев, Р.К.Траянов, А.И.Шкловская,
Физический институт и Машино-энергетический институт,
София

П.Димитров
Институт строительной кибернетики, София

К.Н.Абдулаева, А.Азимова, С.А.Азимов, К.Р.Игамбердиев,
С.Л.Лутфуллаев, Х.А.Ризаев, Е.И.Трунова, Т.М.Усманова,
А.А.Юлдашев, Б.С.Юлдашев,
Физико-технический институт АН Уз.ССР, Ташкент

Л.Н.Абесалашвили, Н.С.Амаглобели, Д.В.Герсамия,
М.А.Дасаева, Т.Ш.Мирианашвили, Р.Г.Салуквадзе,
И.И.Тулиани, М.С.Чаргейшвили, Л.В.Чхайдзе,
Тбилисский государственный университет, Тбилиси

Ц.Баатар, Д.Тувдендорж, Б.Чадраа,
Институт физики и математики М.А.Н., Улан-Батор

Нгуен Дин Ты
Ханойский университет, Ханой

§1. Методика

В настоящей работе представлены некоторые экспериментальные результаты по инклюзивным процессам в π^-p - и π^-n -взаимодействиях при импульсе 40 Гэв/с. В работе использовались стереофотографии, полученные при облучении двухметровой пропановой пузырьковой камеры в пучке π^- -мезонов с импульсом / $40,00 \pm 0,24$ / Гэв/с серпуховского ускорителя.

При двукратном просмотре 21000 стереофотографий были отобраны π^-p и π^-n -события согласно критериям, описанным ранее /1/. После измерений оказалось, что в эффективной области камеры произошло 2200 событий /2/. Средняя множественность вторичных заряженных частиц в этих событиях согласуется со средней множественностью, полученной в просмотре /1,2/. Неизменные треки составляют ~3% от полного числа треков и их доля не зависит от множественности вторичных частиц. Средняя ошибка измерения импульса вторичных частиц оказалась равной 12%, а наиболее вероятное значение - 6%. Средняя ошибка в измерении глубинного угла равна $\Delta \text{tg}\alpha = /6,1 \pm 0,1/.10^{-3}$ и для плоского угла - $\Delta\beta = /3,5 \pm 0,1/$ мрад.

Распределение всех вторичных частиц по азимутальному углу не отличается от изотропного / $\phi = 3,14 \pm 0,02$ / . Однако распределение по ϕ для протонов указывает на потерю ≈ 14% медленных протонов, летящих ко дну камеры /2/. Протоны с импульсами до 700 Мэв/с идентифицировались по пробегу и ионизации. При больших значениях импульсов разделение положительных частиц на

протоны и π^+ -мезоны не было проведено, поэтому среди вторичных положительных частиц содержится $\approx 15\%$ протонов с импульсом, превышающим 700 Мэв/с. Эта оценка была сделана с предположением, что вероятность перезарядки протона в нейтрон равна 0,4^{1/3}.

Из отобранных событий были исключены случаи упругого рассеяния и когерентные трехлучевые события. Упругие события выделялись из всех двухлучевых согласно следующим критериям:

- 1/ события не содержат γ -квантов и V° -частиц;
- 2/ они удовлетворяют кинематическому соотношению "угол Θ_+ - угол Θ_- " для упругих событий: $\Theta_- \leq 0,02$; $1,57 \geq \Theta_+ \geq 1,20$, где Θ_\pm - углы вылета положительной и отрицательной частицы;

3/ величина $M_p = \sum_i^2 (E_i - p_i \cos \theta_i)$ лежит в области $0,92 \leq M_p \leq 0,98$ Гэв. При вычислении M_p положительная частица считалась протоном. Здесь E_i , p_i - энергия и импульс вторичных заряженных частиц в л.с. координат.

Когерентные события исключались только из 3-лучевых взаимодействий по трем критериям:

- 1/ события не содержат идентифицированного протона, γ -квантов и V° -частиц;
- 2/ $\sum_i^3 \sin \theta_i \leq 0,20$; θ_i - угол вылета вторичной частицы в л.с. координат;

3/ $M_t = \sum_i^3 (E_i - p_i \cos \theta_i) \leq 0,025$ Гэв.
Эти критерии были получены на основании анализа методических распределений. В результате их применения было исключено $\approx 20\%$ двух- и $\approx 22\%$ трехлучевых событий. Эти величины согласуются с нашими оценками, сделанными в предыдущих работах /1/.

§2. Средние характеристики π^- -при π^-n -взаимодействий

В таблице I приведены средние множественности вторичных заряженных частиц, π° -мезонов и нейтральных странных частиц $/\Lambda^\circ$ и K° / для π^-p -и π^-n -взаимодействий при $p = 40$ Гэв/с. Как видно из таблицы, π^-p -и

Таблица I

Тип взаимодействия	$\langle n_\pm \rangle$	$\sqrt{\langle n_\pm \rangle^2 - \langle n_\pi \rangle^2}$	$\langle n_{\Lambda^\circ} \rangle$	$\langle n_K \rangle$	$\langle n_{tot} \rangle^*$
π^-p	5,62 $\pm 0,04$	2,77 $\pm 0,03$	2,43 $\pm 0,05$	0,07 $\pm 0,04$	0,23 $\pm 0,03$
π^-n	5,32 $\pm 0,06$	2,84 $\pm 0,04$	2,23 $\pm 0,08$	0,06 $\pm 0,02$	0,21 $\pm 0,06$

$\langle n_{tot} \rangle$ - полное число всех вторичных частиц, с учетом нейтронов. Коэффициент перезарядки протона в нейтрон $a = 0,4$.

$\pi^- p$ -взаимодействия практически не отличаются по этим характеристикам.

В таблице II даны средние значения поперечных, продольных импульсов и $\langle \cos\Theta^* \rangle$ в с.ц. инерции для π^+, π^- -мезонов, γ -квантов Λ° -и K° -частиц. Среднее значение $p_{||}^*$ определено в интервале от -2,5 до +2,5 Гэв/с, а $\langle p_{||} \rangle$ - в интервале 0-1,5 Гэв/с. Как видно из таблицы, средние значения поперечных импульсов для π^+ -и π^- -мезонов одинаковы. В последней колонке таблицы II даны числа π^+ -и π^- -мезонов, вылетающих назад в лабораторной системе координат в $\pi^- p$ -взаимодействиях. Отсюда видно, что вероятности фрагментации протонов на π^+ -мезоны или на π^- -мезоны одинаковы.

§3. Одночастичные инклузивные распределения

Одночастичные распределения инклузивных процессов типа:

- | | |
|-------------------------------------|-----|
| $\pi^- p \rightarrow \pi^+ + \dots$ | /1/ |
| $\pi^- p \rightarrow \pi^- + \dots$ | /2/ |
| $\pi^- n \rightarrow \pi^+ + \dots$ | /3/ |
| $\pi^- n \rightarrow \pi^- + \dots$ | /4/ |

были получены для изучения общих характеристик $\pi^- p$ -и $\pi^- n$ -взаимодействий при $p = 40$ Гэв/с.

В таблице III приведены величины неупругих сечений (σ_{in}) числа треков, N_{π^+} и N_{π^-} - средние значения $\langle n_{\pi^-} \rangle$ и $\langle n_{\pi^+} \rangle$, использованные для нормировки при построении графиков. Здесь, как и в работах /1/, полное число неупругих $\pi^- p$ -и $\pi^- n$ -взаимодействий нормировалось на соответствующее сечение неупругого взаимодействия ($\sigma_{in} = \sigma_{tot} - \sigma_{el}$), где полное сечение (σ_{tot})

Таблица II

Тип взаи- модей- ствия	$\langle p_{ } \rangle$ Мэв/с	$\langle p_{ }^* \rangle$ Мэв/с	$\langle \cos\Theta^* \rangle$	Число частиц назад на 1000 звезд	
				π^-	π^+
$\pi^- p$	356 \pm 4	196 \pm 2	0,231 \pm 0,012	52 \pm 7	54 \pm 7
$\pi^- \gamma$	369 \pm 4	-25 \pm 12	-0,008 \pm 0,011	231 \pm 19	0,261 \pm 0,018
Λ°	172 \pm 3	17 \pm 7	0,052 \pm 0,012	143 \pm 23	0,162 \pm 0,023
K°	482 \pm 35	-818 \pm 131	-0,597 \pm 0,071	50 \pm 12	0,013 \pm 0,024
$\pi^- n$	436 \pm 23	121 \pm 65	0,156 \pm 0,062		
$\pi^+ p$	344 \pm 6	231 \pm 19	0,261 \pm 0,018		
$\pi^+ \gamma$	362 \pm 8	143 \pm 23	0,162 \pm 0,023		
$\Lambda^\circ n$	164 \pm 6	164 \pm 6	0,013 \pm 0,024		

Таблица III

Величина	$\pi^- p$	$\pi^- n$
$\langle n_+ \rangle$	$5,62 \pm 0,04$	$5,32 \pm 0,06$
$\langle n_\pi^- \rangle$	$2,81 \pm 0,02$	$3,16 \pm 0,04$
$\langle n_{\pi^+} \rangle$	$2,61 \pm 0,02$	$2,10 \pm 0,02$
σ_{in}	$21,2 \pm 0,35$ мбн	$19,6 \pm 0,4$ мбн
N_{π^-}	4099	1565
N_{π^+}	3778	997

было взято из работы /4/, а упругое - σ_{el} - принималось равным $\sigma_{el} = 3,50 + 0,35$ мбн *.

В приведенных ниже результатах неопределенность в нормировке на σ_{in} не учитывалась, она составляет $\approx 2\%$.

На рис. 1 /а, б/ приведены структурные функции

$$f(p_\perp^2) = \frac{2}{\pi \sqrt{S}} \int E^* \frac{d\sigma}{dp_\perp^2 dp_{||}^*} dp_{||}^*$$

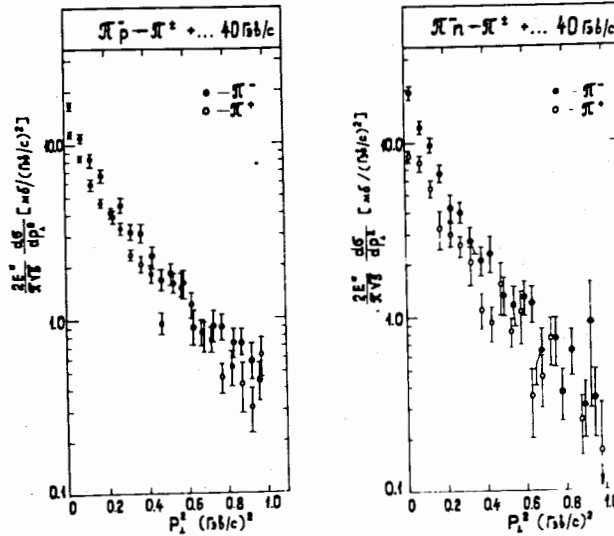


Рис. 1

для реакций /1/ : /4/ для π^+ -и π^- -мезонов. Эти распределения фитированы с помощью функций вида

$$f(p_\perp^2) \sim \exp(-A p_\perp^2) + R \exp(-B p_\perp^2)$$

в интервале $0 \leq p_\perp^2 \leq 1$ /Гэв/с/. Значения полученных коэффициентов приведены в таблице IV. Здесь же для сравнения даны результаты, полученные при аппроксимации экспериментальных данных по $\pi^+ p$ -взаимодействии

* Величина σ_{el} оценивалась по формуле $\frac{d\sigma}{dt} \sim e^{Bt}$, где $B = 8,5$ /Гэв/с/ $^{-2}$.

$$f(p^2) = \alpha p(-A p_\perp^2) + R \exp(-B p_\perp^2)$$

Эксперимент	Частица	A	$(\Gamma_{\text{ЭВ}}/\text{с})^{-2}$	R	B	$(\Gamma_{\text{ЭВ}}/\text{с})^{-2}$	$\chi^2/D.F.$
$\pi^- p$ 40 ГэВ/с	$\begin{cases} \text{II}^+ \\ \text{II}^- \end{cases}$	$7,9 \pm 1,6$	$0,38 \pm 0,26$	$2,4 \pm 0,6$		$38/16$	
	$\begin{cases} \text{II}^+ \\ \text{II}^- \end{cases}$	$10,6 \pm 1,9$	$0,42 \pm 0,14$	$2,6 \pm 0,4$		$27/16$	
$\pi^- n$ 40 ГэВ/с	$\begin{cases} \text{II}^+ \\ \text{II}^- \end{cases}$	$5,19 \pm 0,22$	—	—		$28/18$	
	$\begin{cases} \text{II}^+ \\ \text{II}^- \end{cases}$	$5,24 \pm 0,20$	—	—		$32/18$	
$\pi^- p$ 16 ГэВ/с	$\begin{cases} \text{II}^+ \\ \text{II}^- \end{cases}$	$9,2 \pm 0,3$	$0,37 \pm 0,04$	$3,1 \pm 0,1$		$19/23$	
	$\begin{cases} \text{II}^+ \\ \text{II}^- \end{cases}$	$8,6 \pm 0,3$	$0,49 \pm 0,06$	$3,3 \pm 0,1$		$40/23$	
$\pi^+ p$ 16 ГэВ/с	$\begin{cases} \text{II}^+ \\ \text{II}^- \end{cases}$	$10,4 \pm 0,3$	$0,59 \pm 0,04$	$3,2 \pm 0,1$		$23/23$	
	$\begin{cases} \text{II}^+ \\ \text{II}^- \end{cases}$	$9,2 \pm 0,3$	$0,43 \pm 0,06$	$3,7 \pm 0,1$		$52/23$	

ствиям при 16 ГэВ/с. Результаты фитирования показали, что распределения $f(p_\perp^2)$ не описываются одной экспонентой для $\pi^- p$ -взаимодействий. Полученные коэффициенты в пределах ошибок согласуются с данными, полученными при $p = 16$ ГэВ/с [5].

На рис. 2 /а,б/ приведена зависимость структурных функций

$$f(x) = \frac{2}{\pi \sqrt{S}} \int E * \frac{d\sigma}{dp_\perp^2 dx} dp_\perp^2$$

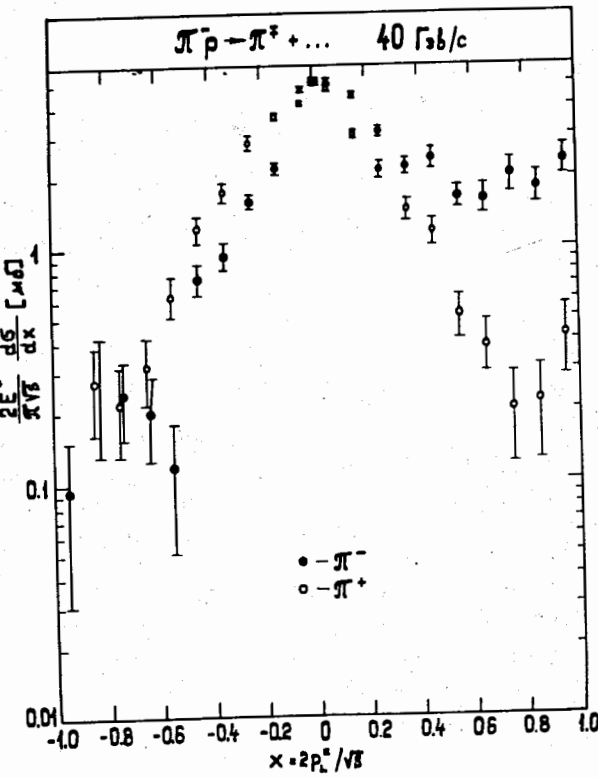


Рис. 2а

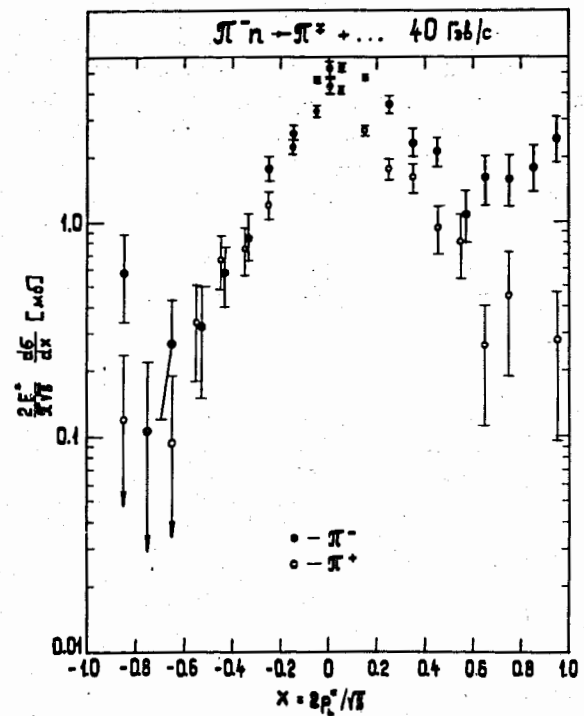


Рис. 26

от x для π^-p -и π^-n -взаимодействий. Для области $x > 0$ наблюдается эффект "лидирующей" частицы / π^- -мезона/. В центральной области $|x| \leq 0,02$ / инвариантные сечения для π^+ -и π^- -мезонов в π^-p -взаимодействиях одинаковы. В области фрагментации протона ($x < 0$) структурные функции одинаковы для π^-p -взаимодействий. Разница в поведении $f(x < 0)$ для π^+ - и π^- -мезонов в π^-p -взаимодействиях может быть связана с примесью протонов /см. §1/. На рис. 3 приведены отношения структурных функций для процессов:

$$\pi^-p \rightarrow \pi^+/\pi^-p \rightarrow \pi^-, \quad \pi^-p \rightarrow \pi^+/\pi^-n \rightarrow \pi^-,$$

$$\pi^-p \rightarrow \pi^-/\pi^-n \rightarrow \pi^-$$

в зависимости от x . Здесь же приведены результаты

работы /5/, полученные при 16 ГэВ/с. Как видно из рисунка, основные особенности поведения $f(x)$ не меняются в интервале 16-40 ГэВ.

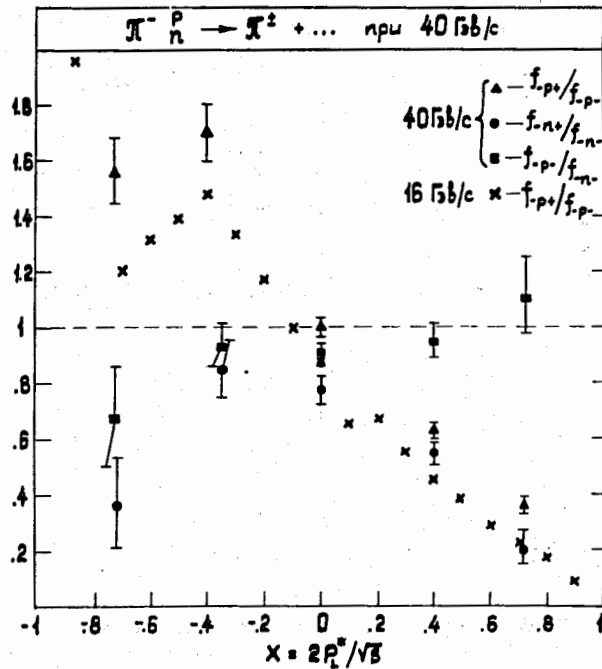


Рис. 3

На рис. 4 /а,б/ даны распределения π^+ -и π^- -мезонов в зависимости от $y^* = \frac{1}{2} \ln \frac{E^* + p_{||}}{E^* - p_{||}}$.

Одной из интересных характеристик многочастичных процессов является распределение dQ/dx , где Q - суммарный заряд всех вторичных частиц. Считая, что вторичные заряженные частицы - протоны, π^+ - и π^- -мезоны, получим

$$\frac{dQ}{dx} = \frac{1}{\sigma_{in}} \left\{ \frac{d\sigma}{dx}(p) + \frac{d\sigma}{dx}(\pi^+) - \frac{d\sigma}{dx}(\pi^-) \right\}.$$

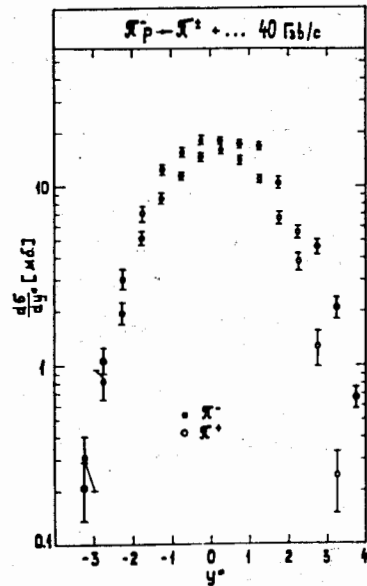


Рис. 4

В этом случае интеграл $\int \frac{dQ}{dx} dx = 0$ для $\pi^- p$ -взаимо-

действий и равен -1 - для $\pi^- n$ -столкновений. На рис. 5 приведена зависимость dQ/dx для $p = 40$ Гэв/с и $p = 16$ Гэв/с. В этом распределении явно видна роль фрагментирующих частиц - протона и нейтрона ($x < 0$) и π^- -мезонов ($x > 0$). Аналогичная зависимость наблюдается и для $\pi^- p$ -взаимодействий при $p = 16$ Гэв/с /сплошная кривая на рис. 5/ [7].

Для проверки гипотезы масштабной инвариантности /скейлинга/ в сильных взаимодействиях в "центральной области" ($x \approx 0$) полученные результаты сравнивались с имеющимися данными по $\pi^+ p$ -столкновениям / $E_\pi \leq 25$ Гэв/ и по pp - соударениям / $E_p \leq 1500$ Гэв/ *.

* Поведение $\pi^- p$ -взаимодействий в "центральной области" отличается от $\pi^+ p$ -взаимодействий. Для изучения этого различия необходима большая статистика событий.

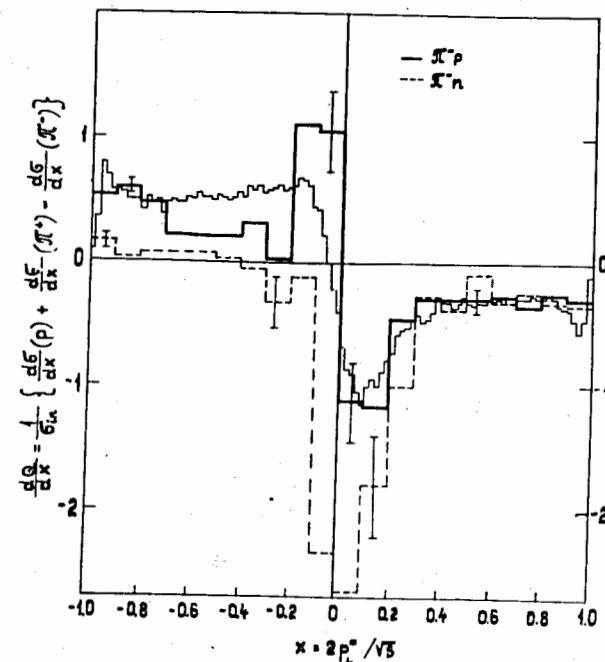


Рис. 5

Сравнение проводилось по трем характеристикам:

$$\frac{f(x=0)}{\sigma_{tot}}, \frac{1}{\sigma_{in}} \frac{d\sigma(\theta^*=90^\circ)}{d\Omega} \text{ и } R = \frac{N_{\pi^+}}{N_{\pi^-}}.$$

В случае скейлинга $f(x=0)$ не должно зависеть от энергии сталкивающихся частиц. На рис. 6 приведены значения $f(x=0)$ для $\pi^+ p$ -столкновений в зависимости от $S^{-1/4}/6/*$.

Как видно из рисунка, $f(0)$ для $\pi^- p \rightarrow \pi^- +$ взаимодействий постоянна в пределах ошибок для различных энергий / $E \leq 40$ Гэв/. Отсутствие экспериментальных данных для этой реакции при более высоких энергиях не дает возможности сделать прямого заключения о независимости $f(0)$ от энергии. Однако норми-

* Значение $f(x=0)$ бралось по интервалу $|\Delta x| \leq 0,02$.

рованные значения $f(0)/\sigma_{tot}$ для $\pi^- p$ -взаимодействий при $p = 40$ Гэв/с и pp -взаимодействий при $E \approx 1000$ Гэв совпадают по абсолютной величине *.

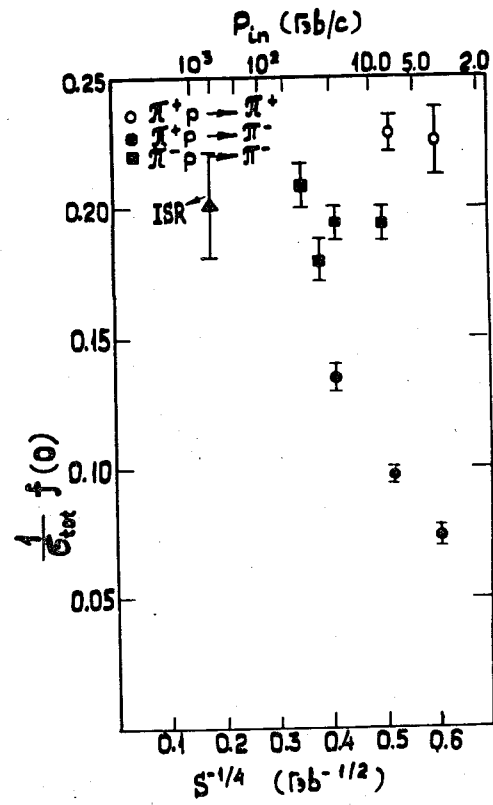


Рис. 6

* Эти величины в случае масштабной инвариантности в рамках модели Редже также должны быть одинаковы для различных типов первичных частиц.

Таблица V

\sqrt{S} Гэв	Тип взаимо- действия	$\frac{1}{\sigma_{in}} \frac{d\sigma}{d\Omega}$ При $\Theta^* = 90^\circ$	γ	
			Π^+	Π^-
31	pp	$0,105 \pm 0,005$	$1,108 \pm 0,005$	$0,22 \pm 0,02$
53	pp	$0,117 \pm 0,005$	$0,121 \pm 0,005$	$0,24 \pm 0,02$
	$\pi^- p$	$0,117 \pm 0,011$	$0,108 \pm 0,011$	$0,23 \pm 0,02$
8,7	$\pi^- n$	$0,094 \pm 0,020$	$0,117 \pm 0,022$	$0,23 \pm 0,03$

Прямое сравнение такого же типа можно провести и для величины $\frac{1}{\sigma_{t,n}} \frac{d\sigma(\theta^*=90^\circ)}{d\Omega}$ для π^-p -и pp -взаимодействий /рис. 7, таблица V/^{7/}. Кривая на рис. 7 соответствует $-\frac{A}{\sin^2 \theta^*}$. В пределах ошибок нормированные угловые распределения при $\theta^* \approx 90^\circ$ совпадают для π^-p -с贯穿ий при $E_\pi = 40$ Гэв и pp -столкновений при $E_p = 500 - 1500$ Гэв *.

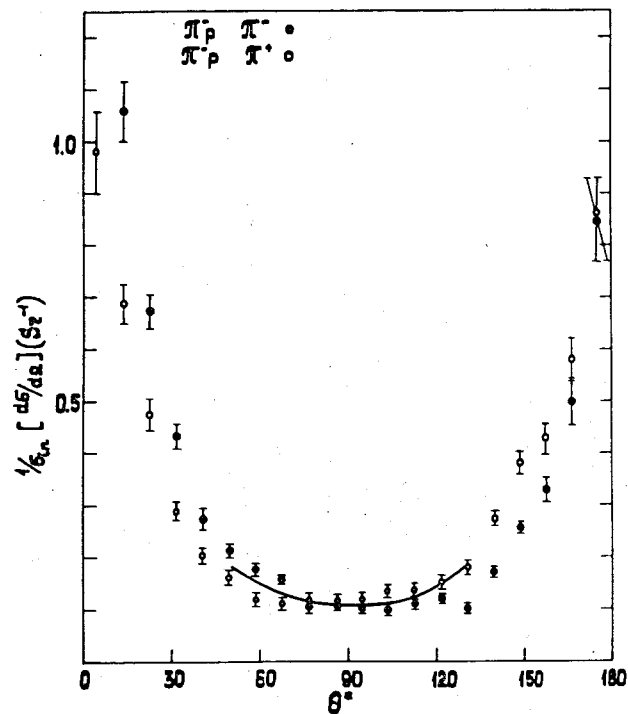


Рис. 7а

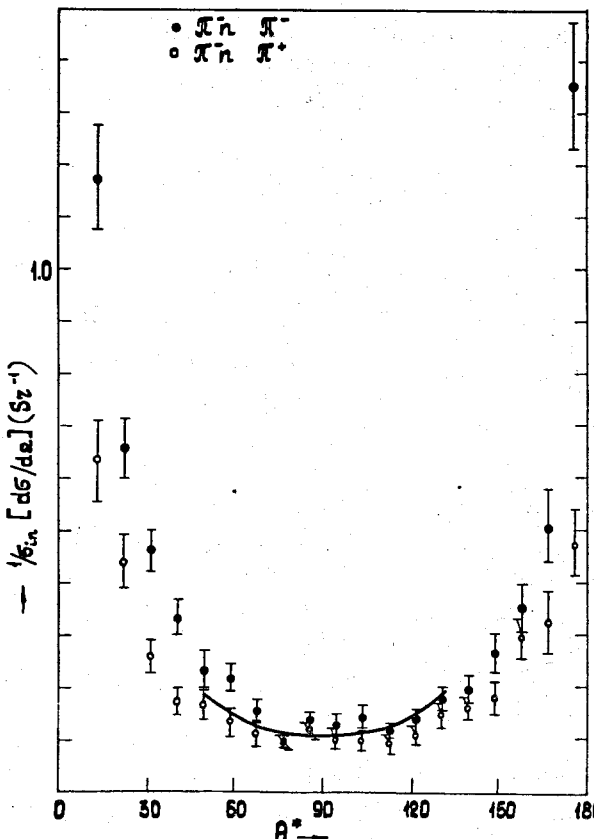


Рис. 7б

Наконец, величина R в этом случае должна быть равна 1. На рис. 8 приведены значения R для различных энергий. При $E_\pi = 40$ Гэв и $E_p = 500 - 1500$ Гэв значение R в пределах ошибок /±6%/ равно 1.

Таким образом, анализ экспериментальных данных по π^-p -взаимодействиям при $p = 40$ Гэв/с показывает, что нормированные структурные функции π^+ , π^- и π^0 -мезонов совпадают с аналогичными величинами для pp -взаимодействий при $E_p = 500 - 1500$ Гэв в "центральной области" *.

* Эффекты, связанные с "лидирующими" частицами, здесь не рассматриваются.

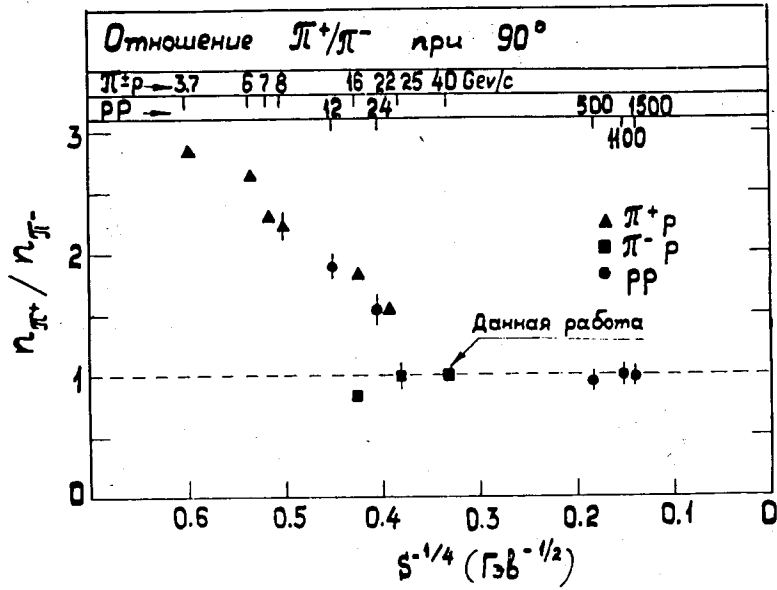


Рис. 8

Значение величины R в пределах ошибок также равно 1. Отсюда следует, что если имеет место масштабная

инвариантность для $p p$ -взаимодействий при $E \approx 1000$ Гэв, то она также, возможно, имеет место и в случае $\pi^- p$ -взаимодействий при $p = 40$ Гэв/с.

В заключение авторы выражают благодарность группе лаборантов, которые принимали участие в обработке экспериментального материала.

Литература

1. Сотрудничество Будапешт - Бухарест - Варшава - Дубна - Краков - Серпухов - София - Ташкент - Тбилиси - Улан-Батор - Ханой.
Препринт ОИЯИ, Р1-6277, Дубна, 1972; Препринт ОИЯИ, Р1-6491, Дубна, 1972; Препринт ОИЯИ Р1-6298, Дубна, 1973; ИЯИ, Варшава. Report "P" No. 14II/VII, 1972; Phys.Lett., 39B, 571, 1972; Ж.Я.Ф. 16, 989, 1972; Nucl.Phys., B52, 414, 1973.

2. А.У.Абдурахимов, Н.Ангелов и др. Препринт ОИЯИ, Р1-6967, Дубна, 1973. Препринт ОИЯИ, Р1-6326, Дубна, 1972.
3. V.G.Grishin et al. JINR E2-6596, Dubna, 1972; JINR P2-6950, Dubna, 1973.
4. CERN - Serpukhov Collaboration. Phys.Lett., 30, 500, 1969.
5. A.B.B.C.H.W. Collaboration. CERN /D.Ph. II/ Phys. 72-45, 1972.
6. D.R.O.Morrison. CERN /D.Ph. II/Phys. 72-19, 1972.
7. British - Scandinavian Collaboration, report to be presented at XVIth Int. Conf. on High Energy Physics, Batavia, 1972.

Рукопись поступила в издательский отдел
27 апреля 1973 года.